

· 临床实践 ·

鼻部胚胎性横纹肌肉瘤 3 例临床和病理分析

赵鹤, 王萌, 曹志伟

中国医科大学附属盛京医院耳鼻咽喉科, 辽宁 沈阳 110004

摘要: 目的 探讨鼻部胚胎性横纹肌肉瘤的临床病理特征、影像学特征及诊断、预后。方法 回顾性分析 2016 年至 2017 年中国医科大学附属盛京医院收治的鼻部胚胎性横纹肌肉瘤患者 3 例的临床资料, 均经病理检查, 免疫组化确诊为胚胎性横纹肌肉瘤。**结果** 例 1, 53 岁女性, 以“痰中带血 2 月, 加重 1 月”为主诉入院; 例 2, 6 岁女性患儿, 以“发现鼻背肿物 1 个月”为主诉入院; 例 3, 2 岁男性患儿, 以“鼻塞伴打鼾 1 个月”为主诉入院。3 例入院后均实施血常规、生化、鼻窦 CT 及 MRI 等检查, 病理显示均为胚胎性横纹肌肉瘤。随访 2~12 个月, 例 1 和例 3 死亡, 例 2 规律化疗中, 目前一般状态良好。病理显示细胞皆呈小圆形, 核分裂易见。免疫组化显示结蛋白 (Desmin) 均 (+)。**结论** 鼻部胚胎性横纹肌肉瘤早期症状不典型, 恶性程度高, 病情进展快, 预后差, 需做到早诊断早治疗。

关键词: 横纹肌肉瘤, 胚胎性, 鼻部; 临床特征; 结蛋白; 电子计算机断层扫描; 核磁共振; 免疫组化

中图分类号: R 739.62 **文献标识码:** B **文章编号:** 1674-8182(2018)08-1095-03

Embryonal rhabdomyosarcoma of nose: a clinicopathological analysis of 3 cases

ZHAO He, WANG Meng, CAO Zhi-wei

Department of Otorhinolaryngology, Affiliated Shengjing Hospital of China Medical University, Shenyang, Liaoning 110004, China

Corresponding author: CAO Zhi-wei, E-mail: caozw@sj-hospital.org

Abstract: Objective To investigate the clinical, pathological and imaging features, diagnosis and prognosis of embryonal rhabdomyosarcoma of nose. **Method** The clinical data of 3 patients with embryonic rhabdomyosarcoma of nose confirmed by pathological and immunohistochemical examination and treated in Shengjing Hospital of China Medical University from 2016 to 2017 was retrospectively analyzed. **Result** Case 1 in a 53 years old female was admitted to hospital for blood in phlegm for 2months and aggravation for 1 month as the chief complaint; case 2 in a 6-year-old girl was admitted to hospital for mass on nasal dorsum for 1 month; case 3 at the age of 2 years old (male) was admitted to hospital with nasal congestion and snoring for 1 months. Routine blood test, biochemistry, nasal computed tomography (CT) and magnetic resonance imaging (MRI) examinations were performed in all 3 cases, and embryological rhabdomyosarcoma was confirmed by pathological examination. During 2-12 months of follow-up, case 1 and case 3 were dead, and case 2 was with regular chemotherapy and in a good state. Pathology showed that the cells were small and round with obvious nuclear fission. Immunohistochemical staining showed all desmin-positive cells. **Conclusions** The early symptoms of nasal embryonal rhabdomyosarcoma are atypical with a high degree of malignancy, rapid progression and poor prognosis. Early diagnosis and treatment is quite necessary.

Key words: Rhabdomyosarcoma, embryonal, nose; Clinical features; Desmin; Computed tomography; Magnetic resonance imaging; Immunohistochemistry

横纹肌肉瘤 (rhabdosarcoma, RMS) 是相对少见的中胚叶恶性肿瘤, 其组织来源尚不明确, 学者们保持不同观点, 目前认为可能与染色体异常有关^[1], 可能与杂合丢失、基因甲基化异常和 DNA 突变机制相关。发生在鼻腔鼻窦的 RMS 更加少见^[2]。胚胎性 RMS 是 RMS 的一种, 现对本科收治的 3 例鼻部胚胎性

RMS 患者的临床资料回顾性分析如下。

1 临床资料

1.1 病例 1 患者女, 53 岁。2016 年 8 月 26 日因“痰中带血 2 个月, 加重 1 个月”为主诉入院, 患者 2 个月来痰中带血, 近 1 个月来较频繁, 无其他不良

主诉。体检：全身查体未见明显异常，专科查体：左侧中鼻道可见一新生物，表面光滑，可见血管纹，下鼻甲稍肥大，无充血。电子鼻咽镜：左侧中鼻道见新生物，表面光滑。鼻窦平扫 CT：左侧鼻腔可见软组织密度影，大小约 2.8 cm × 1.3 cm（图 1a）。鼻窦增强 MRI：左侧鼻腔内见团块状稍长 T1 稍长 T2 信号影（图 1b），大小 2.6 cm × 1.3 cm，与邻近鼻甲黏膜分界不清，其内信号略不均，增强扫描病灶可见强化。左侧海绵窦区见不规则形长 T1 长 T2 信号，内部信号较均匀，最大截面 1.9 cm × 2.7 cm，边界较清，左侧颈内动脉海绵窦段受包绕，邻近垂体似受压，增强扫描病灶呈明显不均匀强化。诊断：左侧中鼻道肿物。完善全身检查后，患者全麻下行鼻内镜下鼻腔肿物切除术，术中见左鼻腔后部较柔软新生物，表面不光滑，血运丰富，基底位于中隔后部，较广，术中完整切除肿物，局部扩大切除至骨面，未见明显骨质浸润，术后常规填塞鼻腔。术后病理提示：鼻腔小圆细胞恶性肿瘤，结合免疫组化，符合胚胎性 RMS（图 1c）。波形蛋白（Vimentin）（-），神经细胞粘附分子（CD56）（+），突触素（Syn）（-），嗜铬素 A（CgA）（-），神经元特异性烯醇化酶（NSE）（-），神经胶质原纤维酸性蛋白（GFAP）（-），支持细胞特异性标记物（S-100）（-），CD45（-），抗黑素瘤特异性单抗（HMB45）（-），黑色素（Melan）A（-），细胞增殖指数 Ki-67（约 70% +），肌细胞生成素（Myogenin）（+），肌红蛋白（Myoglobin）（-），结蛋白（Desmin）（+），平滑肌肌动蛋白（SMA）（-），CD99（-）。患者术后于当地行放化疗，具体方案及疗程不详，不久全身骨转移，患者死亡。

1.2 病例 2 患儿女，6 岁。2017 年 5 月 17 日以“发现鼻背肿物 1 个月”为主诉入院，无其他不良主诉。专科查体：鼻背处可见一约 2 cm × 2 cm × 2 cm 大小肿物，无波动感，质韧，表面光滑，与周围界限清。辅助检查：鼻窦平扫 CT：右侧鼻背见一类圆形低密度影，边界较清楚，约 1.3 cm × 0.7 cm × 1.2 cm，平均 CT 值约 98 Hu（图 2a）。鼻窦平扫 MRI：右侧鼻背处见一类圆形稍长 T1 稍长 T2 信号结节影，形态边缘规整，大小约 0.97 cm × 0.73 cm，内部信号均匀（图 2b）。诊断：外鼻肿物。完善全身检查后，患儿于 2017 年 5 月 23 日全麻下行外鼻肿物切除术 + 皮瓣修补术。术中见右侧鼻根部大小 1.5 cm × 1.5 cm 肿物，稍偏右侧，彻底切除肿物，未见骨质浸润。术后石蜡病理回报：（外鼻）恶性肿瘤，结合免疫组化，符合胚胎性 RMS（图 2c）。细胞角蛋白 CK（-），EMA（-），Desmin（+），SMA（-），扁豆凝集素 LCA

（-），S-100（-），Syn（-），CD56（+），Ki-67（70% +），CD34（-），Myoglobin（-），MyoD1（+），Myogenin（部分+）。患儿术后每月规律行 D9602 方案化疗，具体为长春新碱 1.3 mg D1 + 更生霉素 1.0 mg D2。现患儿一般状态良好，鼻背处未见肿物复发，刀口愈合良好，全身检查未见转移。现仍规律复查及化疗中。

1.3 病例 3 患儿男，2 岁。2017 年 6 月 7 日以“鼻塞伴打鼾 1 个月”为主诉入院。专科查体：口咽腔略狭窄，余未见异常。鼻窦平扫 CT：鼻咽及鼻腔部见软组织密度肿块影，范围约 4.8 cm × 3.3 cm × 3.6 cm，邻近鼻咽腔受压、变窄，邻近蝶骨、筛窦骨壁及鼻中隔骨质破坏，双侧鼻甲界限不清（图 3a）。鼻窦 MR：鼻咽顶见混杂信号肿块影，以等信号为主，向前下压迫软腭，较大截面约 3.2 cm × 3.0 cm × 2.5 cm，其前下方见增厚黏膜，邻近骨质似有破坏，咽腔变窄（图 3b）。诊断：鼻咽部肿物。患儿完善全身检查后于 2017 年 6 月 19 日全麻下行鼻内镜下鼻咽部肿物切除术。术中见鼻咽部肿物侵袭软腭，咽后壁颈椎前筋膜及肌肉，肿物触之易出血，与颅底及双侧咽侧无明显分界，无法彻底清除病变，清除大部分肿物至颈椎前筋膜。术后石蜡病理回报：鼻咽部胚胎性 RMS（图 3c）。Vimentin（+），Desmin（+），MyoD1（+），Myoglobin（灶性+），Myogenin（-），Ki-67（80%+），CK（-），CD31（-），CD34（-），S-100（-），SMA（-）。患儿术后状态不佳，于小儿重症监护病房支持治疗，家属放弃抢救，出院后死亡。

2 讨 论

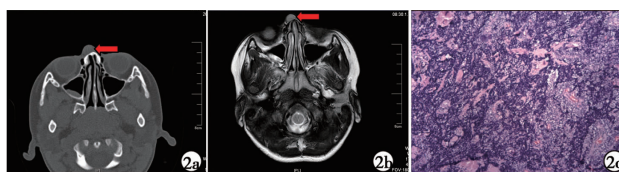
有研究报道，鼻窦 RMS 的五年生存率为 28.4%，27.7% 患者伴有转移^[3]。RMS 根据其组织学分化和生长方式可分为胚胎性，腺泡性，多形性及混合性^[4]，其中胚胎性 RMS 是发病率最高的分型，约占 60%~80%，可发生于全身任何部位，多发生于头颈部、口腔和泌尿生殖器官^[5-10]。其发病以发生在头颈部的儿童和青少年多见，而于四肢发病的成人型少见^[11]。

由于其发病部位较深，早期常缺乏特异性临床表现，极易漏诊误诊，主要表现为流涕、鼻塞、鼻出血等，疼痛者肿瘤多已侵犯鼻窦及周围骨质。胚胎性 RMS 恶性程度高，病情进展迅速，早期即可转移，转移途径主要为血液及所属淋巴结，甚至引起远处转移^[12]。对于可疑病例，术前影像学检查，活检及术后石蜡病理，免疫组化等是提高其诊断和治疗的重要手段，是不可或缺的常规检查项目。所有间叶组织来源的肿



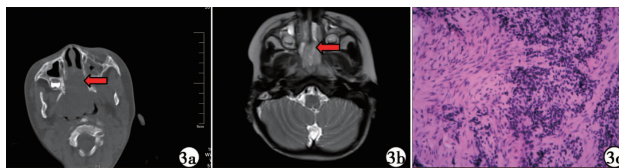
注:1a:CT 平扫,红色箭头所示肿物;1b:MR 平扫,红色箭头所示肿物;1c:病理所见瘤细胞小圆形,弥漫呈片,核分裂易见(HE 染色,×100)。

图 1 例 1 RMS 患者影像学及病理学资料



注:2a:CT 平扫,箭头所指为鼻背处肿物;2b:MR 平扫,箭头所指为鼻背处肿物;2c:病理所见瘤细胞小圆形,片状,梁索状排列,可见核分裂,浸润生长(HE 染色,×100)。

图 2 例 2 RMS 患儿影像学及病理学资料



注:3a:CT 平扫,箭头所指为肿物;3b:MR 平扫,箭头所指为肿物;3c:病理所见小圆形及梭形异型细胞(HE 染色,×100)。

图 3 例 3 RMS 患儿影像学及病理学资料

瘤均可用 vimentin 免疫组化染色证实组织来源,常采用 myoglobin、desmin 等进行标记^[13]。黄红艳等^[14]对 15 例 RMS 的 MRI 特点研究提示,MRI 高清弥散加权成像及动态增强可提高 RMS 诊断率,对鼻腔鼻窦 RMS 具有明显诊断价值。同脑灰质信号相比较,胚胎型 RMS T1WI 多为等信号或稍低信号,在 T2WI 序列上多为不均匀的高信号,肿瘤内出血灶根据出血时间长短不同可表现为等、高或低信号,增强扫描之后病变边界显示清晰,肿瘤病灶区出现不均匀的环形或葡萄样强化。肿瘤内出血,坏死肿瘤组织及包裹性积液常常表现为无强化^[15]。

胚胎性 RMS 的临床治疗仍以手术切除辅以放化疗为主,手术治疗多主张完全切除肿物,做到无肉眼及镜下残留,但由于部分瘤体侵犯眼眶及前颅底,完全切除存在一定困难,传统的鼻侧切术后患者容貌受到影晌,影响患者心理并降低其生活质量。而鼻内镜下配合动力系统吸切为新开展的术式,可最大程度保留正常组织结构,减少容貌的改变^[16]。放化疗对治疗胚胎性 RMS 尤其是晚期或姑息性手术患者十分重要,可先行放化疗待肿瘤萎缩再行手术治疗。

鼻部胚胎性 RMS 是一种高度恶性肿瘤,无明显

性别、年龄、部位差异,因此,凡是怀疑鼻部恶性肿瘤者,均应排除此病。该病的治疗应力争早发现,早诊断,早期应用手术联合局部放疗及全身化疗等综合治疗,以求提高生存率,改善生活质量。

参考文献

- Liu C, Li D, Hu J, et al. Chromosomal and genetic imbalances in Chinese patients with rhabdomyosarcoma detected by high-resolution array comparative genomic hybridization[J]. Int J Clin Exp Pathol, 2014, 7(2):690–698.
- 谢汝华, 刘文峰, 杨和强, 等. 鼻前庭胚胎横纹肌肉瘤 1 例[J]. 西南军医, 2014, 16(4):387.
- Stepan K, Konuthula N, Khan M, et al. Outcomes in adult sinonasal rhabdomyosarcoma[J]. Otolaryngol Head Neck Surg, 2017, 157(1):135–141.
- 樊胜海, 李学德, 江志勇, 等. 原发性附睾胚胎型横纹肌肉瘤 1 例并文献复习[J]. 中国性科学, 2017, 26(7):38–39.
- 邹文焘, 张家雄, 陈萍. 鼻腔鼻窦横纹肌肉瘤 1 例[J]. 中国眼耳鼻喉科杂志, 2014, 14(1):47–48.
- Ibrahim U, Saqib A, Mohammad F, et al. Embryonal rhabdomyosarcoma of the cervix: a rare disease at an uncommon age[J]. Cureus, 2017, 9(11):e1864.
- de Melo ACR, Lyra TC, Ribeiro ILA, et al. Embryonal rhabdomyosarcoma in the maxillary sinus with orbital involvement in a pediatric patient: case report[J]. World J Clin Cases, 2017, 5(12):440.
- Peters SM, Kunkle T, Perrino MA, et al. Mandibular embryonal rhabdomyosarcoma with cartilaginous metaplasia: report of a case and review of literature[J]. Oral Surg Oral Med Oral Pathol Oral Radiol, 2017, 124(6):e288–e293.
- Nasioudis D, Alevizakos M, Chapman-Davis E, et al. Rhabdomyosarcoma of the lower female genital tract: an analysis of 144 cases[J]. Arch Gynecol Obstet, 2017, 296(2):327–334.
- Chen E, Ricciotti R, Futran N, et al. Head and neck rhabdomyosarcoma: clinical and pathologic characterization of seven cases[J]. Head Neck Pathol, 2017, 11(3):321–326.
- 张艳秋, 李培华, 李巍, 等. 鼻腔鼻窦横纹肌肉瘤 3 例[J]. 临床耳鼻咽喉头颈外科杂志, 2010, 24(11):524–525.
- 刘海峰, 王璐. 胚胎性横纹肌肉瘤的现状[J]. 医学理论与实践, 2010, 23(8):930–932.
- 邹文焘, 张家雄, 陈萍. 鼻腔鼻窦横纹肌肉瘤 1 例[J]. 中国眼耳鼻喉科杂志, 2014, 14(1):47–48.
- 黄红艳, 黄文虎, 舒锦尔, 等. MRI 高清弥散加权成像及动态增强对鼻腔鼻窦横纹肌肉瘤的诊断价值[J]. 中国临床医学影像杂志, 2016, 27(12):850–854.
- 廖荣信, 张亚林, 瞿中威, 等. 鼻腔鼻窦胚胎型横纹肌肉瘤的 MRI 表现及临床价值研究[J]. 中国医药指南, 2014, 12(6):8–9.
- 李克鹏, 刘柱, 金书丞, 等. 鼻部横纹肌肉瘤诊疗分析[J]. 临床耳鼻咽喉头颈外科杂志, 2017, 31(18):1398–1401, 1407.

收稿日期:2018-04-24 修回日期:2018-05-13 编辑:石嘉莹